



بررسی نقش کایرالیتی بر خواص فیزیکی نanolوله های بورون نیترید و کربنی با قطر کوچک

* طبیبه مولاروی

گروه نانو فیزیک، دانشکده فیزیک و مهندسی هسته ای، دانشگاه صنعتی شهرود، شهرود، سمنان.

► web2_tayebeh.movlaroooy@shahroodut.ac.ir

چکیده:

در این پژوهش ساختار الکترونی و خواص اپتیکی نظریه تابع دی الکترونی و ثابت های اپتیکی نanolوله های بورون نیترید و کربنی (۵,۰)، (۳,۳) و (۴,۲) که همگی دارای قطر کوچک حدود 4 \AA می باشند، به کمک نظریه تابعی چگالی و با استفاده از اصول اولیه مطالعه شده است. ساختار نواری محاسبه شده این nanolوله ها نشان می دهد که nanolوله های کربنی با قطر کوچک، بسته به کایرالیتی nanolوله می توانند دارای خاصیت فلزی یا نیمرسانایی باشند در حالیکه nanolوله های بورون نیترید مستقل از کایرالیتی، نیمرسانا با گاف بالا می باشند. علاوه براین نتایج حاصل از محاسبات اپتیکی بیانگر این مطلب است که برخلاف nanolوله های بورون نیترید، طیف جذب nanolوله های کربنی با قطر کوچک قویاً به کایرالیتی nanolوله بستگی دارد. نتایج حاصل از این پژوهش در توافق خوبی با داده های نظری و تجربی گزارش شده است.

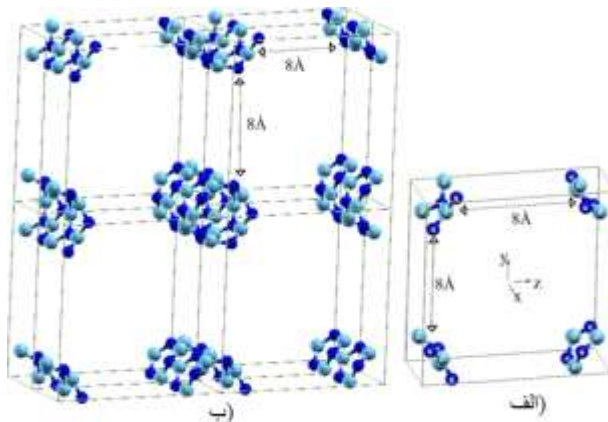
واژگان کلیدی: کایرالیتی، ساختار الکترونی، nanolوله کربنی، بورون نیترید، نظریه تابعی چگالی، تابع دی الکترونی.

۱ مقدمه

فراوان پژوهشگران قرار بگیرند. یکی از مهم ترین و پر کاربرد ترین nanolوله های تک جداره می باشند که به دلیل دارا بودن خواص جالب الکترونیکی، اپتیکی، مکانیکی و حرارتی کاربرد گسترده ای در تمامی ابعاد زندگی بشری پیدا کرده اند [۱,۲]. با توجه به اثرات اتحنای بالا، nanolوله های با قطر کوچک در مقایسه با nanolوله های بزرگتر، خواص جالب و منحصر به فرد الکترونیکی از خود نشان می دهند لذا درک کامل از خواص میکروسکوپی این nanolوله ها حائز اهمیت است [۱]. همه اشکال ممکن از nanolوله های تک جداره که شامل سه دسته زیگزاگ($(n,0)$ ، کایرال((n,m)) و دسته صندلی((n,n)) می باشد، را می توان با استفاده از بردارهای کایرال((n,m)) به دست آورد. nanolوله های کربنی با

پیدایش فناوری نانو موجب انقلابی عظیم در تمامی ابعاد زندگی بشری اعم از الکترونیک، پزشکی، صنایع نظامی و فضایی شده است. کوچک تر نمودن اندازه و ابعاد قطعات الکترونیکی در سالهای اخیر پیامدهای شگرفی را در زمینه کاهش قیمت و افزایش قدرت کامپیوترها و وسائل الکترونیکی در نقل و انتقال اطلاعات داشته است. از میان انبوهی از مواد نانو متري که هر کدام توان بالایی به منظور استفاده در سیستم های میکرو-نانو دارند، nanolوله ها از اهمیت و جایگاه ویژه ای برخوردارند. خواص جالب توجه nanolوله ها از قبیل رسانندگی بالا، استحکام مکانیکی، چگالی کم و پایداری بالا سبب شده است که در سالهای اخیر مورد توجه

در کد Wien2K باید سلول اولیه را به صورت یک یاخته سه بعدی تعریف نمود، در اینجا سلول اولیه برای تمام نانولوله‌های مورد بررسی در این پژوهش به صورت یاخته اولیه تتراگونال درنظر گرفته شده است. البته باید دقت شود که تناوب نانولوله‌ها در راستای محور X می‌باشد. با بهینه سازی حجم دریافتیم که حدود ۸ آنگستروم خلا در راستای محورهای عمود بر نانولوله لازم است تا مانع اندرکنش بین لوله‌ای شود. نمونه‌ای از یاخته اولیه و همچنین ابریاخته نانولوله زیگزاگ بورون نیترید (۵،۰) در شکل ۱ نشان داده شده است.



شکل ۱: نمونه‌ای از یاخته اولیه و همچنین ابریاخته نانولوله زیگزاگ بورون نیترید (۵،۰).

۳ بحث و نتایج ساختمان الکترونی

ساختمان نواری محاسبه شده برای نانولوله‌های کربنی تک جداره با قطر کوچک حدود 4\AA در شکل ۲ آورده شده است. مطابق شکل ۱ راستای تناوب نانولوله‌های مورد مطالعه در این پژوهش، در جهت محور X می‌باشد. نانولوله‌های کربنی با قطر کوچک بسته به کایرالیتی نانولوله ممکن است دارای خاصیت فلزی یا نیمرسانایی باشند. نتایج ما نشان می‌دهد که نانولوله‌های (۵،۰) و (۳،۳) دارای خاصیت فلزی بوده در

قطر کوچکتر می‌توانند هم دارای خاصیت فلزی و هم دارای خاصیت نیمرسانایی باشند که درجه رسانایی آنها به بردار کایرال آنها بستگی دارد [۴،۳]. تفاوت در خواص رسانندگی مربوط به ساختار مولکولی آنهاست که منجر به ساختار نواری و گاف متفاوت می‌شود. در حالیکه نانولوله‌های نیترید بور، مستقل از کایرالیتی نانولوله در دمای اتاق پایدارند و نانولوله‌های نیمرسانا با گاف بالا می‌باشند و بدین جهت کاربرد گسترده‌ای در صنعت نانوالکترونیک دارند.

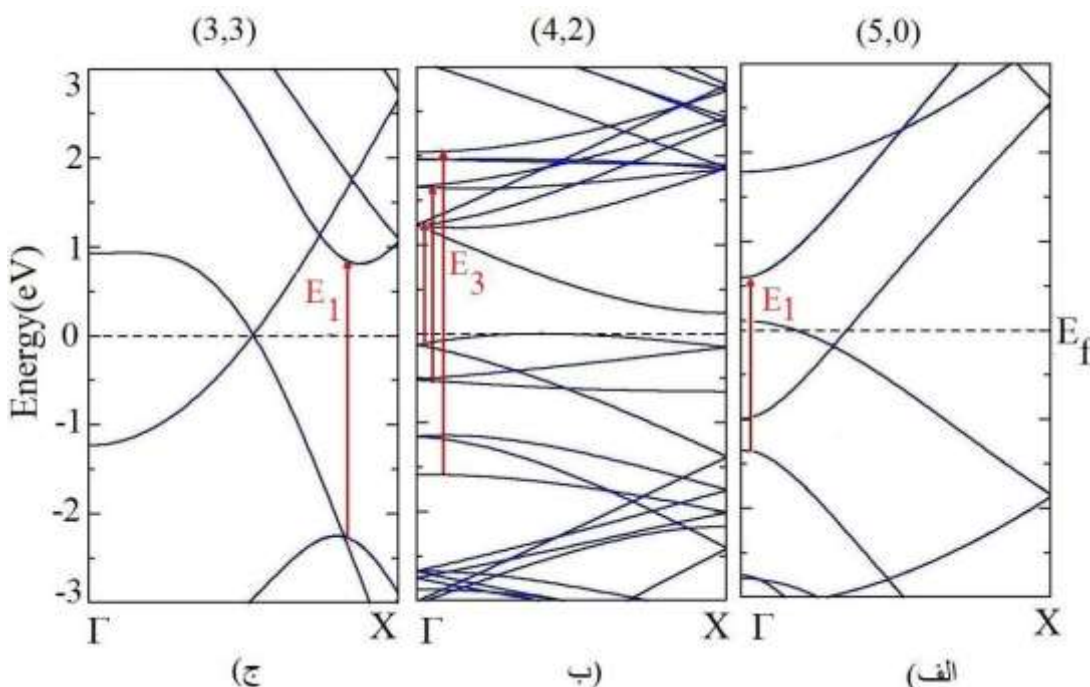
خواص ساختاری و ارتعاشی نانولوله‌های نیترید بور با شعاع کوچک توسط یانگ و همکاران [۵] به روش نظریه تابعی چگالی مطالعه شده است. آنها با روش محاسبات اولیه نشان دادند که نانولوله زیگزاگ (۵،۰) کوچکترین نانولوله پایدار نیترید بور می‌باشد. همچنین فرکانس مدهای ارتعاشی و پراکندگی فونونی را برای نانولوله‌های بورون نیترید محاسبه کرده اند. جیو و لین [۶] نیز در سال ۲۰۰۵ میلادی به کمک کد محاسباتی VASP خواص اپتیکی نانولوله‌های نیترید بور دوچاره و تک جداره را محاسبه نمودند. در این مقاله خواص الکترونی و اپتیکی نانولوله‌های نیترید بور با قطر کوچک به روش نظریه تابعی چگالی محاسبه شده است، همچنین اثر کایرالیتی بر روی خواص فیزیکی این نانولوله‌ها بررسی شده است.

۲ روش محاسبات

محاسبات این مقاله با استفاده از اصول اولیه و با تقریب گردابیان تعمیم یافته (GGA) به روش پتانسیل کامل امواج تخت تقویت شده خطی (FP-LAPW) در چارچوب نظریه تابعی چگالی DFT [۸-۷] هوهنبرگ، کوهن شم با نرم افزار Wien2k [۹] صورت گرفته است. برای دستیابی به دقت مناسب در محاسبات و کمینه کردن انرژی کل از تعداد ۱۰۰ نقطه K در منطقه اول بریلوئن استفاده کردند. چون

قوی خاصیت فلزی را برای این نانولوله‌ها پیش‌بینی می‌کند. همچنین مقدار گاف محاسبه شده برای نانولوله‌های زیگزاگ با کایرالیتی کمتر از ۷، به خاطر اثرات احنا بالا در نانولوله‌های کوچک، صفر به دست آمده است [۴،۳]. در صورتی که طبق مدل بستگی قوی نانولوله‌های (۴،۰) و (۵،۰) نیمرسانا می‌باشند. اختلاف بین نتایج ما و نظریه بستگی قوی ناشی

حالیکه نانولوله (۴،۲) نیمرسانا با گافی حدود 4.2 eV در نقطه X و گاف حدود 1.2 eV در نقطه Γ است. گاف انرژی را برای انواع نانولوله‌های کربنی تک جداره قبل محاسبه نموده ایم و نتایج در مقاله [۳] ارائه شده است. نتایج این محاسبات نشان می‌دهد که نانولوله‌های زیگزاگ با کایرالیتی مضری از عدد صحیح سه، نیمرسانا با گاف باریک کمتر از 1.2 eV می‌باشند، در حالیکه مدل بستگی



شکل ۲: ساختار نواری محاسبه شده برای نانولوله‌های کربنی با قطر کوچک حدود 4 \AA (الف): (۴،۲)، (ب): (۵،۰) و (ج): (۳،۳)

در شکل ۳ نشان داده شده است. با توجه به ساختار نواری محاسبه شده، مشاهده می‌شود که نانولوله‌های بورون نیترید (۵،۰) و (۳،۳) نیمرسانا و به ترتیب دارای گاف $1/7$ و 4 eV می‌باشند.

ساختار نواری محاسبه شده برای نانولوله‌های بورون نیترید با کایرالیتی‌های مختلف و قطر بزرگتر نیز در شکل ۴ رسم شده است. نابراین نتیجه می‌شود برخلاف نانولوله‌های کربنی، نانولوله‌های نیترید بور مستقل از کایرالیتی نانولوله، نیمرسانا با گاف بالا می‌باشند.

از اثرات احنا می‌باشد. در نانولوله‌های با قطر کوچک اثرات احنا بیشتر بوده و در نتیجه منجر به هیبریداسیون بیشتری بین اریتال‌های π و σ شده و باعث تغییر ساختار نواری می‌شود. فلش‌ها در شکل ۲ نشان‌دهنده گذارهای اپتیکی مجاز بین حالت‌های اشغال شده نوار ظرفیت و حالت‌های خالی نوار رسانش هستند که منجر به پیدایش قله‌ها در قسمت ۵ موهومی تابع دی‌الکتریک می‌شود که این قله‌ها در شکل ۵ با E_1 نشان داده شده‌اند. ساختار نواری محاسبه شده برای نانولوله‌های بورون نیترید (۵،۰) و (۳،۳) با قطر کوچک حدود

خواص اپتیکی

تابع دی الکتریک بیان کننده پاسخ یک ماده به میدان الکترومغناطیسی اعمال شده به آن است. در دهه اخیر، طیف سنجی اپتیکی به عنوان مهمترین وسیله تجربی برای تعیین ساختار نواری مورد استفاده قرار گرفته است. تائسور دی الکتریک مختلط با استفاده از معادلات زیر محاسبه می شود:

قسمتهای حقیقی و موهومی این تائسور از روابط زیر بدست می آید [۱۰]:

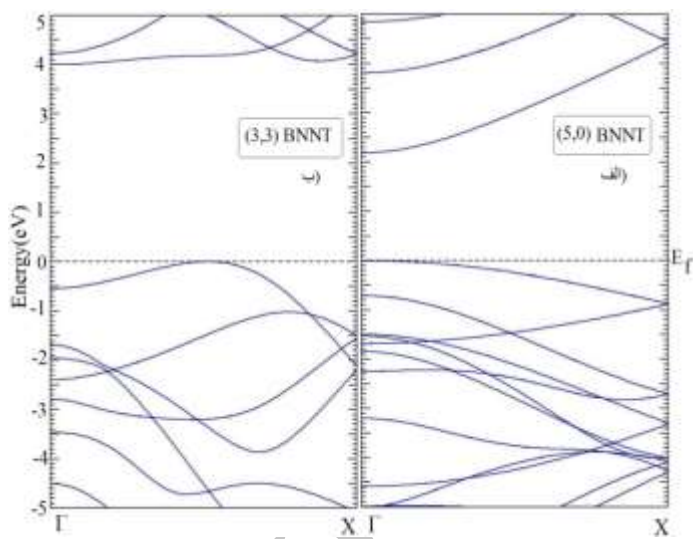
$$\varepsilon'_{\alpha\beta}(\omega) = \text{Re } \varepsilon_{\alpha\beta}(\omega) = \delta_{\alpha\beta} + \frac{2}{\pi} P \int_0^{\infty} \frac{\omega \text{Im } \varepsilon_{\alpha\beta}(\omega)}{\omega^2 - \omega^2} d\omega$$

$$\varepsilon_{\alpha\beta}(\omega) = \varepsilon'_{\alpha\beta}(\omega) + i\varepsilon''_{\alpha\beta}(\omega)$$

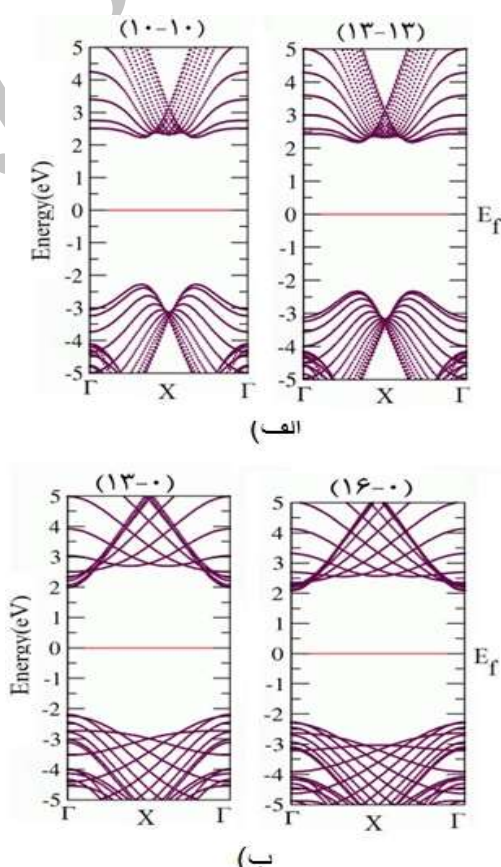
$$\varepsilon''_{\alpha\beta}(\omega) = \text{Im } \varepsilon_{\alpha\beta}(\omega) = \frac{4\pi e^2}{m^2 \omega^2}$$

$$\sum_{c,v} \int dk \langle c_k | p^\alpha | v_k \rangle \langle v_k | p^\beta | c_k \rangle \delta(\varepsilon_{ck} - \varepsilon_{vk} - \omega)$$

که در آن P بیانگر بخش کوشی انتگرال و $|v_k\rangle$ و $|c_k\rangle$ بیانگر حالت الکترون در نوار ضرفیت و نوار رسانش است. قسمت موهومی تابع دی الکتریک محاسبه شده در این پژوهش برای نانولوله های تک جداره (۵,۰)، (۳,۳) و (۴,۲) کربنی و بورون نیترید در حالت میدان اعمالی موازی با محور نانولوله به ترتیب در شکل های ۵ و ۶ نشان داده شده است. قله های مشاهده شده در قسمت موهومی تابع دی الکتریک که با E_F اندیس گذاری شده اند، نشان دهنده گذارهای اپتیکی مجاز بین نواری می باشد. اولین قله قسمت موهومی تابع دی الکتریک نانولوله دسته صندلی (۳,۳) در انرژی حدود ۳eV مشاهده شده است که با نتایج تجربی و نظری گزارش شده قبلی توافق خوبی دارد [۱۱-۱۳]. این قله عمدتاً ناشی از انتقالات اپتیکی بین نواری از تراز HOMO-1 به LUMO و یا HOMO به LUMO+1 می باشد، زیرا در نانولوله های

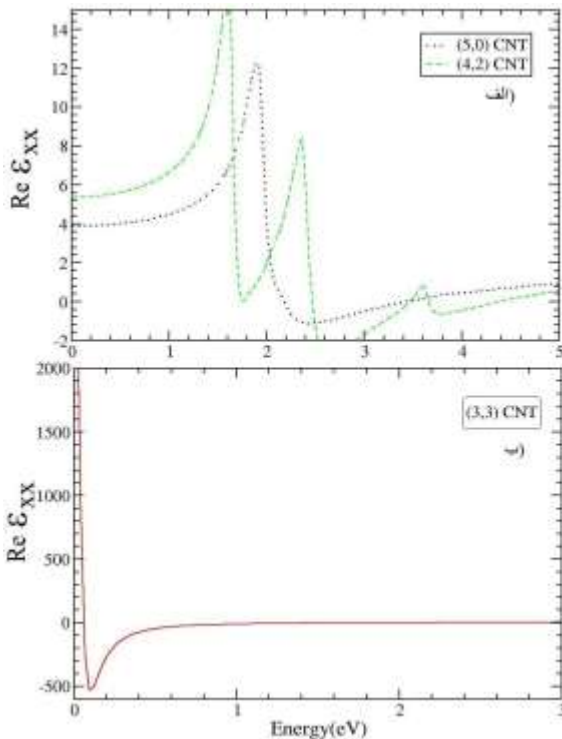


شکل ۳: ساختار نواری محاسبه شده برای نانولوله های بورون نیترید با قطر کوچک حدود 4\AA (الف): (۵,۰)، (ب): (۳,۳).

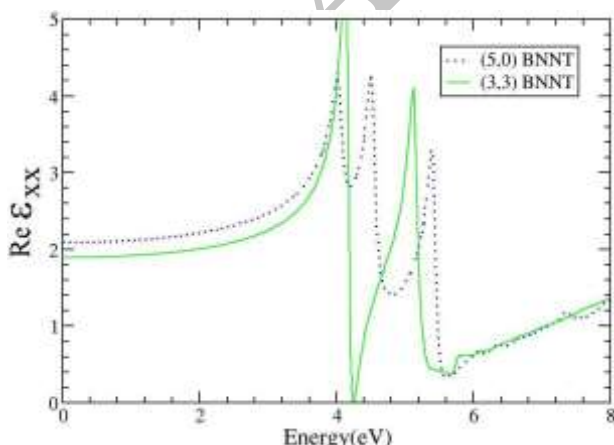


شکل ۴: ساختار نواری محاسبه شده برای نانولوله های بورون نیترید با کایرالیتی های مختلف و قطر بزرگتر.

محاسبه شده (شکل های ۵ الی ۸) و جداول ۱ و ۲ نتیجه می شود که برخلاف نانولوله های بورون نیترید و نانولوله های کربنی با قطر بزرگ [۳]، طیف جذب و ثابت های اپتیکی نانولوله های کربنی با قطر کوچک قویا به کایرالیتی نانولوله بستگی دارد.

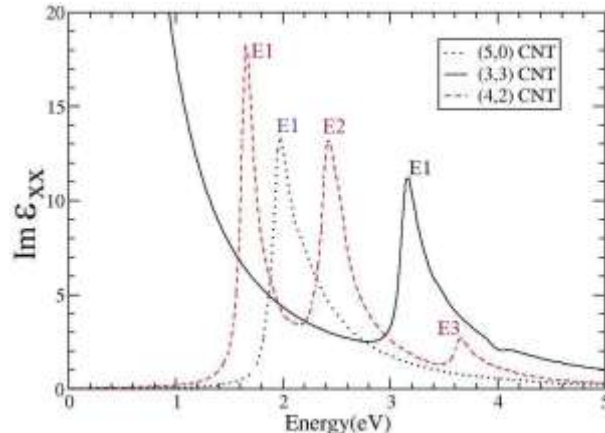


شکل ۷: قسمت حقیقی تابع دی الکتریک برای نانولوله های کربنی تک جداره (الف): (۵،۰) (نقطه چین) ، (۲،۴) و (ب): (۳،۳) (۳،۳) برای میدان اعمالی موازی با محور نانولوله.

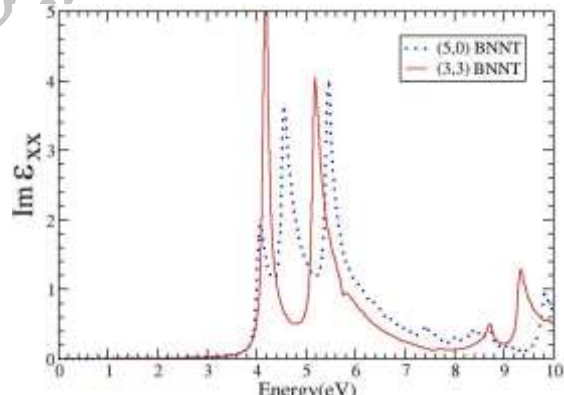


شکل ۸: قسمت حقیقی تابع دی الکتریک برای نانولوله های بورون نیترید (۵،۰) (نقطه چین) و (۳،۳) برای میدان اعمالی موازی با محور نانولوله.

دسته صندلی انتقالات بین نواری از تراز HOMO به LUMO از لحاظ تقارنی ممنوع است. گاف اپتیکی محاسبه شده در این پژوهش برای نانولوله های کربنی با قطر کوچک را با نتایج نظری و تجربی گزارش شده دیگران در جدول ۱ مقایسه نموده ایم.



شکل ۵: قسمت موهومنی تابع دی الکتریک برای نانولوله های کربنی تک جداره (الف): (۵،۰)، (ب): (۴،۲) (۳،۳) و (ج): (۳،۳) برای میدان اعمالی موازی با محور نانولوله.



شکل ۶: قسمت موهومنی تابع دی الکتریک برای نانولوله های بورون نیترید (۵،۰) (نقطه چین) و (۳،۳) برای میدان اعمالی موازی با محور نانولوله.

قسمت حقیقی تابع دی الکتریک برای نانولوله های کربنی و بورون نیترید با قطر حدود 4 \AA برای میدان اعمالی موازی با محور نانولوله به ترتیب در شکل های ۷ و ۸ نشان داده شده است. جدول ۲ ثابت های اپتیکی محاسبه شده به روش GGA برای نانولوله های کربنی و بورون نیترید مورد مطالعه در این پژوهش را نشان می دهد. با توجه به توابع اپتیکی

جدول ۱: مقایسه اولین گذار اپتیکی (گاف اپتیکی) نانولوله‌های کربنی با قطر 4 \AA محاسبه شده در این پژوهش با نتایج دیگران بر حسب eV

کایرالیتی (n,m)	GGA این محاسبات	LDA [۱۳]	LDA [۱۱]	GW [۱۱]	BS [۱۱]	تجربی [۱۲]	طول نانولوله (Å)	قطر نانولوله (Å)	خواص الکتریکی
(۳,۳)	۳	۲/۸	۲/۸۳	۳/۲۶	۳/۱۷	۳/۱	۲/۴۶	۴/۰۷	فلزی
(۴,۲)	۱/۸	۱/۹	-	-	-	۲/۱	۱۱/۲۸	۴/۱۵	نیمرسانا
(۵,۰)	۱/۶	۱/۲	۱/۱۳	۱/۳۰	۱/۳۳	۱/۳۷	۴/۲۶	۳/۹۲	فلزی

جدول ۲: مقایسه گاف نواری و ثابت‌های اپتیکی محاسبه شده نانولوله‌های کربنی و بورون نیترید با قطر حدود 4 \AA به روش GGA

کایرالیتی (n,m)	گاف اپتیکی $E_{11X}(\text{eV})$	ثابت دی الکتریک $\epsilon_0(x)$ این پژوهش ([۱۶])	گاف نواری (eV) این پژوهش ([۱۶])
(۳,۳) بورون نیترید	۴/۲	۱/۹	۴
(۵,۰) بورون نیترید	۴/۱	(۳/۵۵) ۲/۱	(۲/۱) ۱/۷
(۳,۳) کربنی	۳	∞	.
(۵,۰) کربنی	۱/۶	۳/۹	.
(۲,۴) کربنی	۱/۸	۵/۴	۰/۲۴

به خاطر اثرات احنا بالا در نانولوله‌های کربنی کوچک، صفر به دست آمده است، در صورتی که بر طبق مدل بستگی قوی نانولوله (۵,۰) نیمرسانا می‌باشد. اختلاف بین نتایج ما و نظریه بستگی قوی ناشی از اثرات احنا می‌باشد. در نانولوله‌های کربنی با قطر کوچک اثرات احنا بیشتر بوده و در نتیجه منجر به هیبریداسیون بیشتری بین اریتال‌های π و σ شده و سبب تغییر ساختار نواری می‌شود. نتایج نشان می‌دهد که برخلاف نانولوله‌های بورون نیترید طیف جذب نانولوله‌های کربنی با قطر کوچک قویاً به کایرالیتی نانولوله بستگی دارد.

۴ نتیجه گیری

در این پژوهش خواص اپتیکی از قبیل تابع دی الکتریک، ثابت‌های اپتیکی و همچنین ساختار نواری نانولوله‌های کربنی و بورون نیترید با قطر کوچک حدود 4 \AA مطالعه شده است. در محاسبات خواص اپتیکی مختلط از تبدیلات کرامرز-کرونیک استفاده شده است. نتایج نشان می‌دهد که نانولوله‌های کربنی با قطر کوچک بسته به کایرالیتی نانولوله، ممکن است دارای خاصیت فلزی یا نیمرسانایی باشند در حالیکه نانولوله‌های بورون نیترید مستقل از کایرالیتی نانولوله و نیمرسانا با گاف بالا می‌باشند. نتایج ما نشان می‌دهد که نانولوله‌های کربنی (۵,۰) و (۳,۳) دارای خاصیت فلزی بوده در حالیکه نانولوله کربنی (۴,۲) نیمرسانا با گافی حدود 0.24 eV در نقطه X و گافی دیگر با پهنهای $1/2\text{ eV}$ در نقطه Γ است. مقدار گاف محاسبه شده برای نانولوله کربنی زیگزاگ (۵,۰)

مراجع

- [1] I. V. Stankevich, M. V. Nnikerov, and D. A. Bochvar, Russ. Chem. Rev.53, 640, 1984.
- [2] H. W. Kroto, J. R. Heath, S.C.O'Brien, R. F. Curl, and R. E. Smalley, Nature,318, 162, 1985.
- [3] T. Movlaroy, S. M. Hosseini, A. Kompany and N. Shahtahmasebi , "Optical absorption and electron energy loss spectra of single-walled carbon nanotubes". Computational Materials Science 49, 450–456, 2010.
- [4] T. Movlaroy, S. M. Hosseini, A. Kompany and N. Shahtahmasebi, "Ab-initio calculations of optical spectra of chiral (4,1) carbon nanotube". Phys. Status Solidi B 247, No. 7, 1814–1821, 2010.
- [5] H.J. Xiang, Jinlong Yang, J.G. Hou, and Qingshi Zhu, "First-principles study of small-radius single-walled BN nanotubes", Phys. Rev. B 68, 035427, 2003.
- [6] G. Y. Guo and J. C. Lin, "Systematic ab initio study of the optical properties of BN nanotubes", Phys. Rev. B 71, 165402, 2005.
- [7] P. Blaha, D. Singh, P. I. Sorantin and K. Schwarz, Phys. Rev. B 46, 1321-1325, 1992.
- [8] K. Schwarz, P. Blaha and G. K. H. Madsen, Computer Physics Communications, 1-6, 2002.
- [9] P. Blaha and K. Schwarz, Wien2k. Vienna University of Technology Austria, 2002.
- [10] F. Wooten, "optical properties of solids", Academic press, New York, 1972.
- [11] A. G. Marinopoulos, L. Reining, A. Rubio and N. Vast, "Optical and Loss Spectra of Carbon Nanotubes: Depolarization Effects and Intertube Interactions", Phys. Rev. Lett. 91, 046402, 2003.
- [12] Z. M. Li, Z. K. Tang, H. J. Liu, N. Wang, C. T. Chan, R. Saito, S. Okada, G. D. Li, J. S. Chen, N. Nagasawa and S. Tsuda, "Polarized Absorption Spectra of Single-Walled 4 Å Carbon Nanotubes Aligned in Channels of an AlPO4-5 Single Crystal", Phys. Rev. Lett. 87, 127401-1 - 127401-4, 2001.
- [13] H. J. Liu and C. T. Chan, "Properties of 4Å carbon nanotubes from first-principles calculations", Phys. Rev. B 66, 115416-1– 115416-5, 2002.